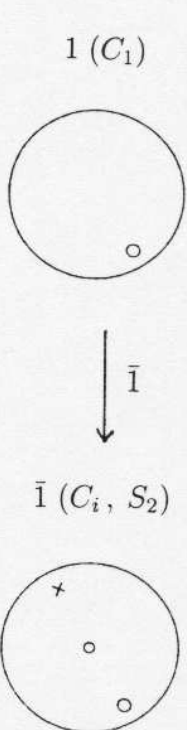


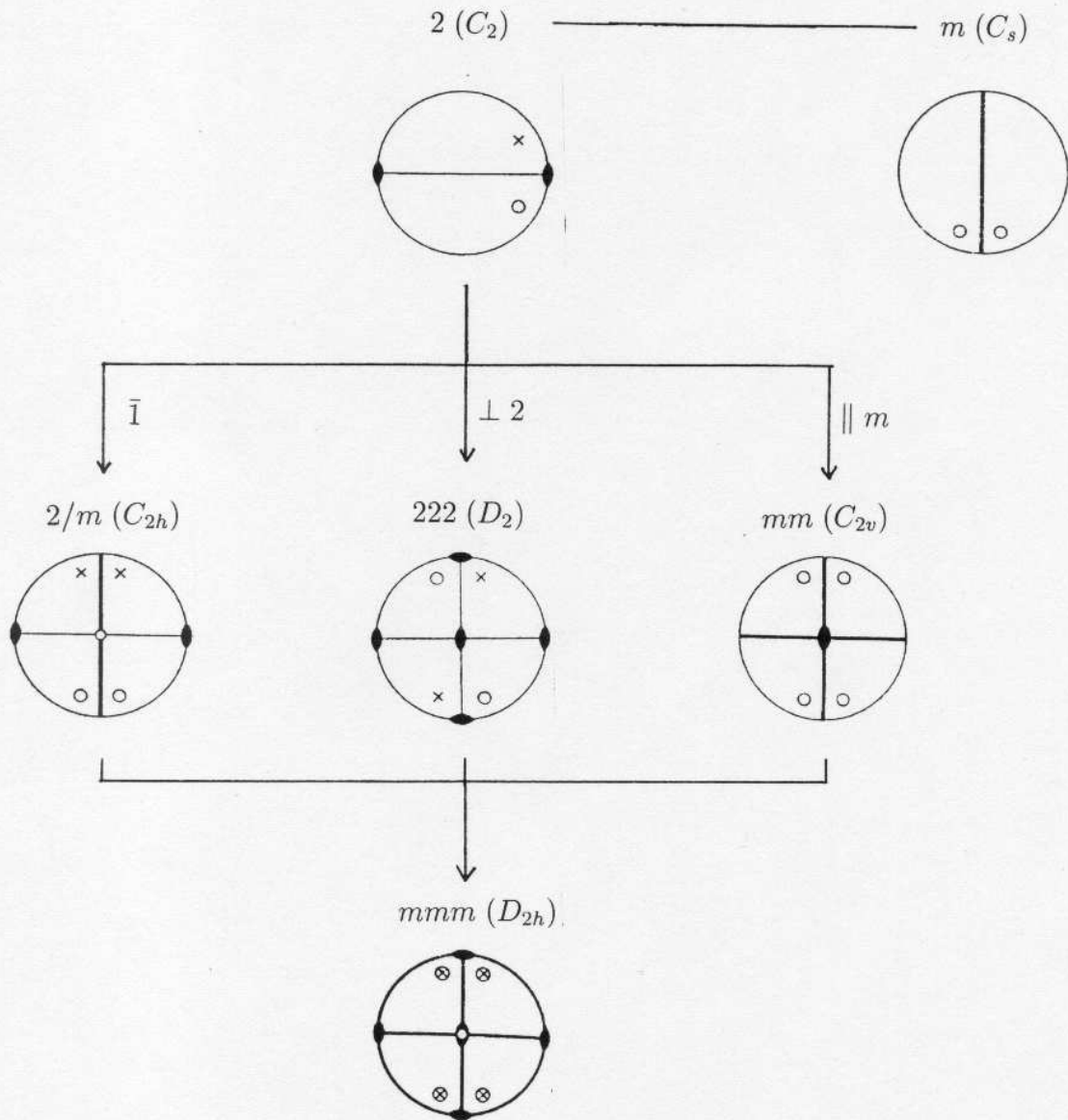
32 krystalograficzne grupy punktowe

Symbole grup podane są w notacji Hermanna-Mauguina (jest to tzw. symbolika międzynarodowa, zalecana przez Międzynarodową Unię Krystalograficzną) oraz (w nawiasach) w notacji Schönfliesa, stosowanej w spektroskopii molekularnej. Pod każdym symbolem podana jest projekcja sferyczna zawierająca elementy symetrii danej grupy oraz ogólny zbiór punktów symetrycznie równoważnych (liczebność tego zbioru równa jest rzędowi grupy).

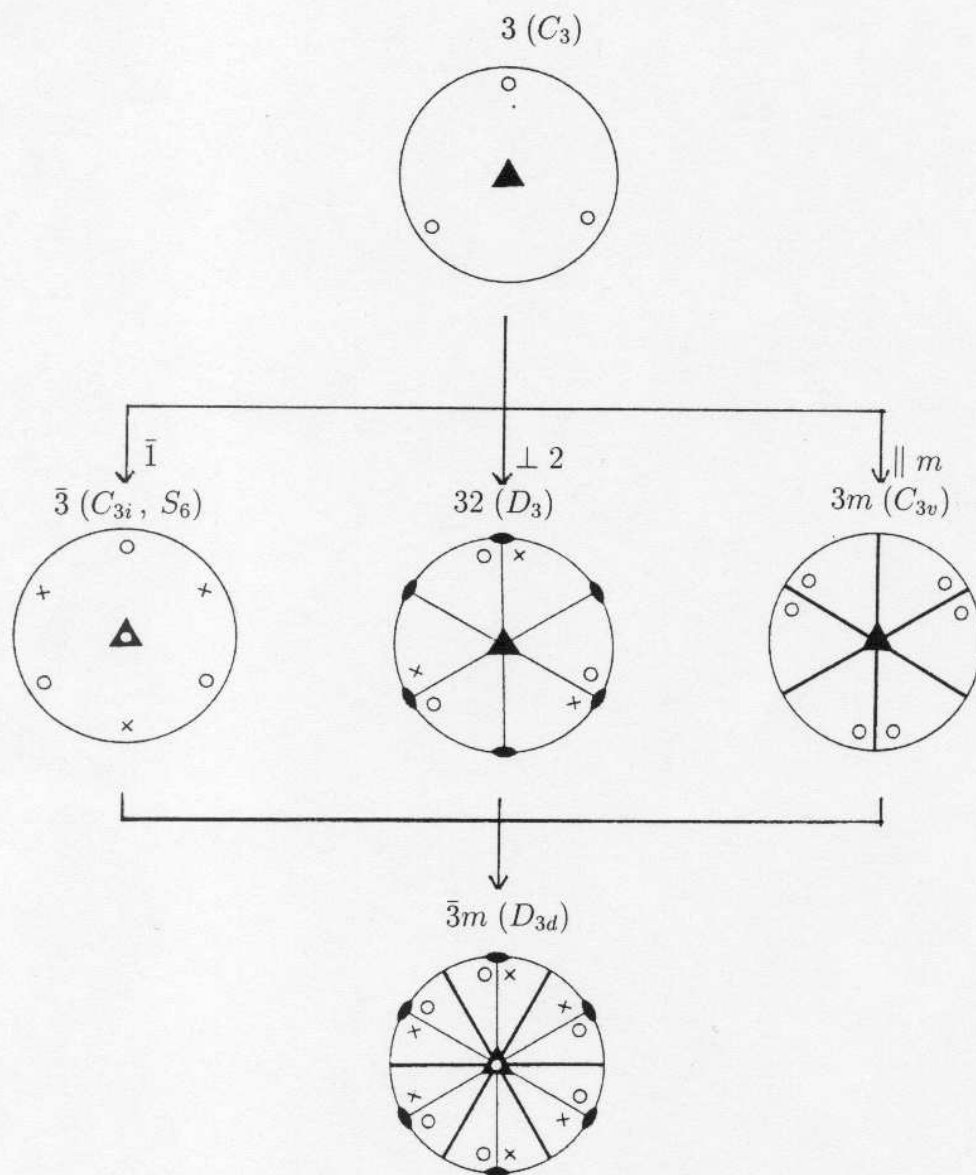
1. Rodzina grup wywodzących się z grupy 1 (układ trójskośny)



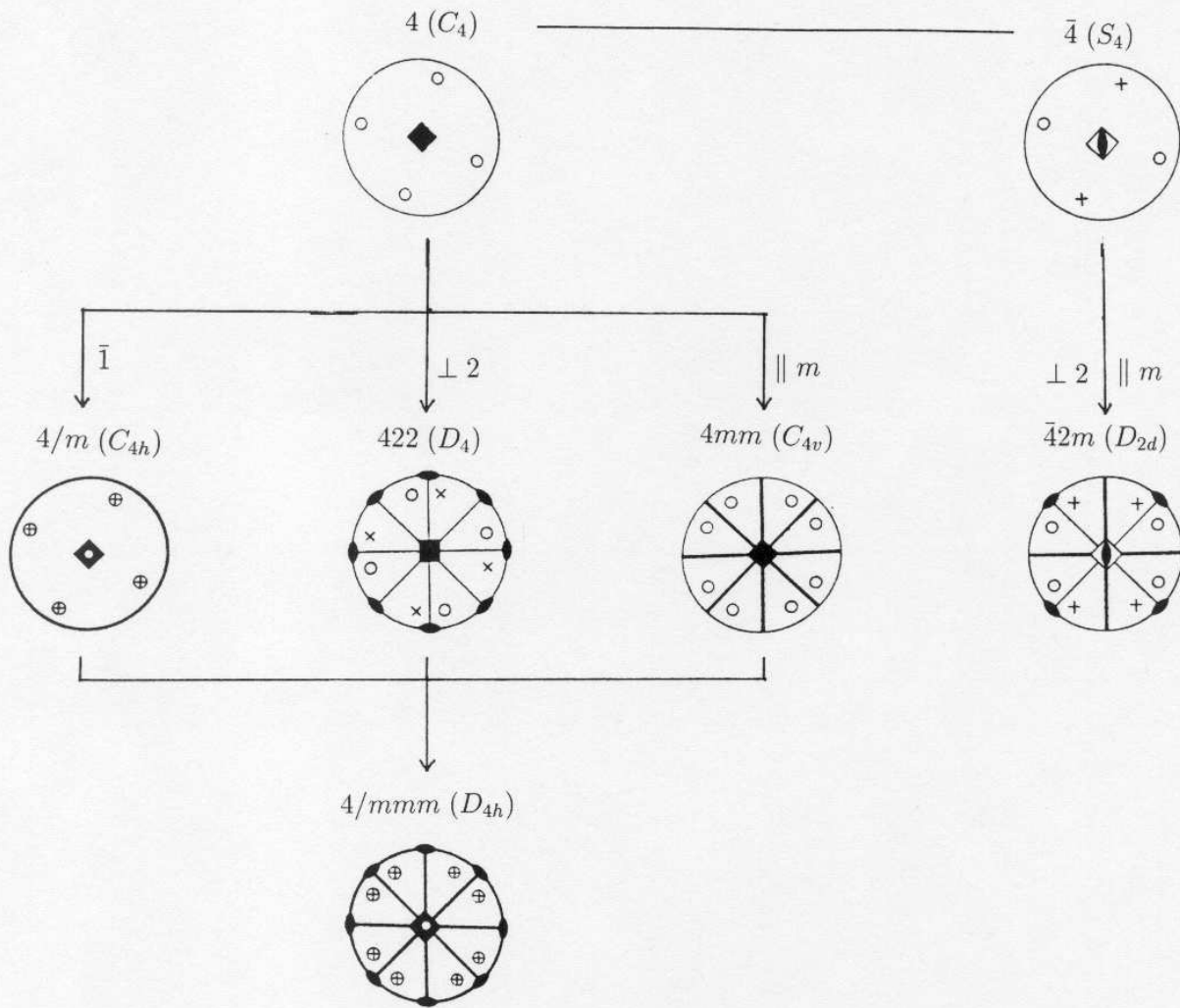
2. Rodzina grup wywodzących się z grupy 2 (układy: jednoskośny i rombowy)



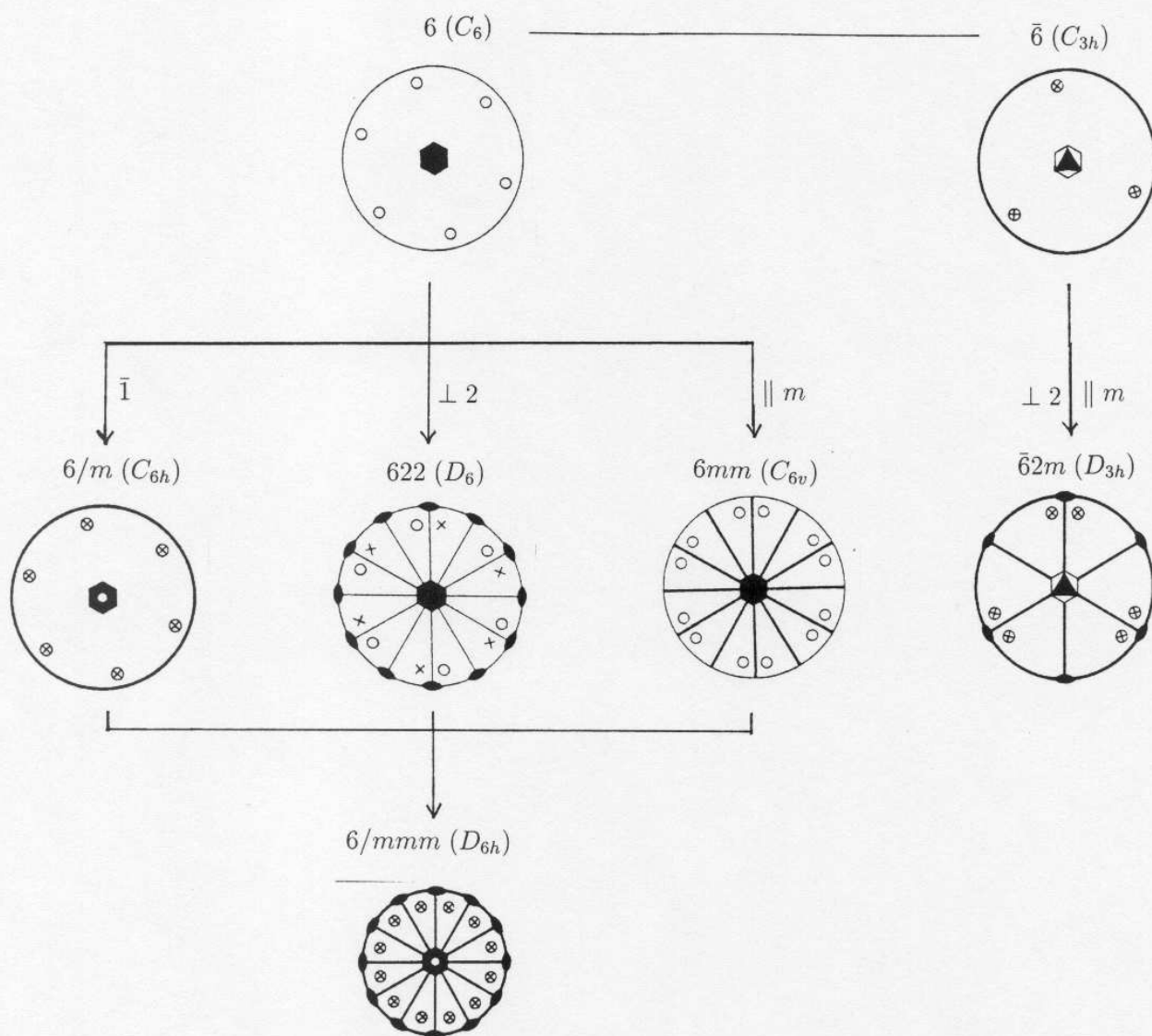
3. Rodzina grup wywodzących się z grupy 3 (układ trygonalny)



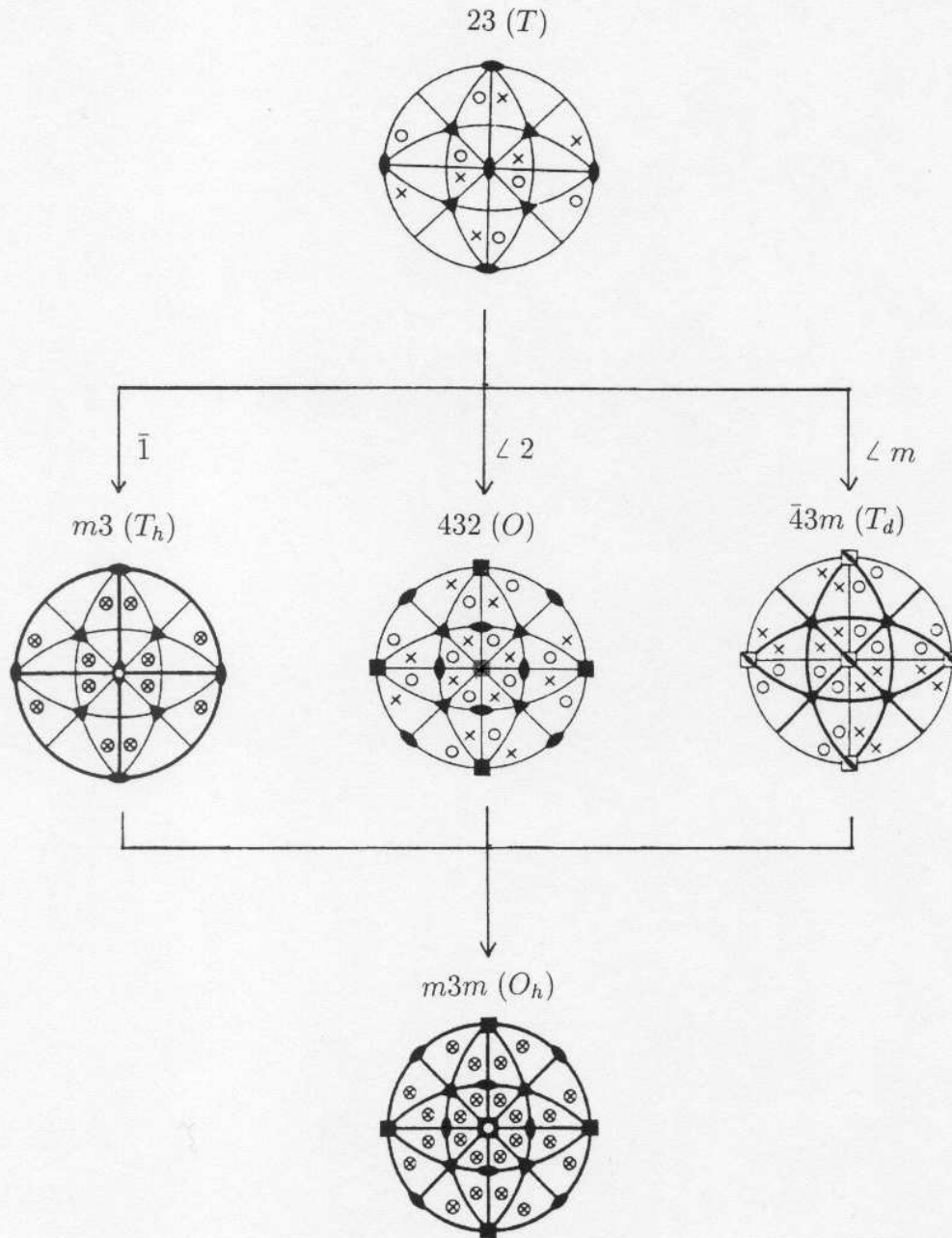
4. Rodzina grup wywodzących się z grupy 4 (układ tetragonalny)



5. Rodzina grup wywodzących się z grupy 6 (układ heksagonalny)



6. Rodzina grup wywodzących się z grupy 23 (układ regularny)

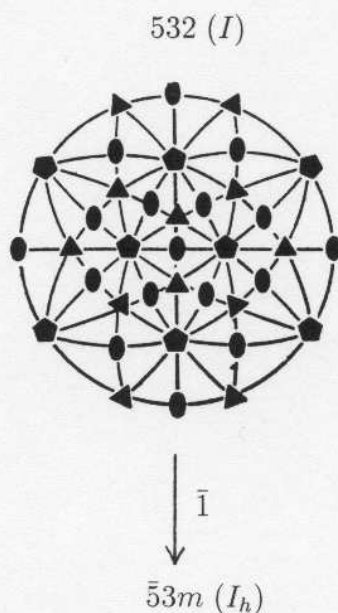


Niekrytalograficzne grupy punktowe skończonego rzędu

1. Rodziny grup wywodzących się:

- (a) z grupy 5 (7, 9, ...) — o strukturze analogicznej do rodziny grupy 3;
- (b) z grupy 8 (12, 16, ...) — o strukturze analogicznej do rodziny grupy 4;
- (c) z grupy 10 (14, 18, ...) — o strukturze analogicznej do rodziny grupy 6.

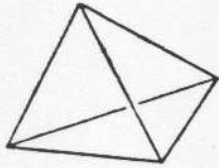
2. Grupy ikosaedryczne



Grupy punktowe nieskończonego rzędu

- 1. Grupa symetrii cząsteczki liniowej heterojądrowej $C_{\infty v}$
- 2. Grupa symetrii cząsteczki liniowej homojądrowej $D_{\infty h}$
- 3. Grupa symetrii atomu $O(3)$

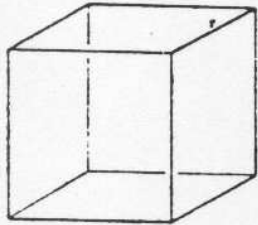
Pięć wielościanów foremnych (bryły platońskie)



czworościan

ściany: 4 trójkąty równoboczne
wierzchołki: 4
krawędzie: 6

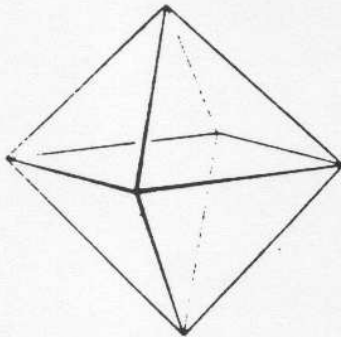
43m



sześcián

ściany: 6 kwadratów
wierzchołki: 8
krawędzie: 12

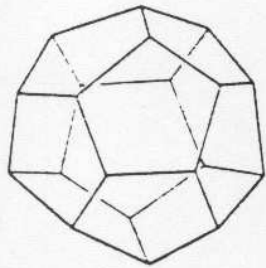
m3m



ośmiościan

ściany: 8 trójkątów równobocznych
wierzchołki: 6
krawędzie: 12

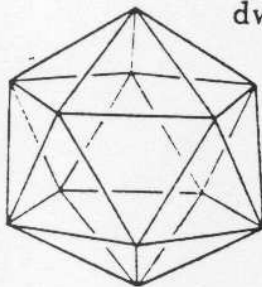
m3m



dwunastościan

ściany: 12 pięciokątów foremnych
wierzchołki: 20
krawędzie: 30

53m



dwudziestościan

ściany: 20 trójkątów równobocznych
wierzchołki: 12
krawędzie: 30

53m

Wzór Eulera (1750): $W - K + S = 2$

Otrzymaliśmy zasadniczo charakterystyki wszystkich krystalicznych grup punktowych. Dane te zebrane są dla porównania, w zwartej formie, w tablicach 4.9-4.19.

Grupy (takie jak \mathcal{C}_{5v} i \mathcal{S}_8), które występują niekiedy przy rozpatrywaniu problemów cząsteczkowych, lecz nie są w zasadzie zaliczane do grup krystalograficznych, mogą być równie łatwo zanalizowane za pomocą opisanych tu metod.

Nie zamieszczamy tu tablic charakterów tych grup, które dają się przedstawić w postaci iloczynów prostych, tzn. grup

$$\begin{aligned} \mathcal{C}_{3h} &= \mathcal{C}_3 \times \mathcal{C}_s, & \mathcal{C}_{4h} &= \mathcal{C}_4 \times \mathcal{C}_i, & \mathcal{C}_{6h} &= \mathcal{C}_6 \times \mathcal{C}_i, \\ D_{2h} &= D_2 \times \mathcal{C}_i, & D_{4h} &= D_4 \times \mathcal{C}_i, & \mathcal{S}_6 &= \mathcal{C}_3 \times \mathcal{C}_i, \\ D_{3d} &= D_3 \times \mathcal{C}_i, & D_{6h} &= D_6 \times \mathcal{C}_i, & T_h &= T \times \mathcal{C}_i, \\ O_h &= O \times \mathcal{C}_i. \end{aligned}$$

Powodem tego jest fakt, że, jak wykazano w poprzednim rozdziale, charakterystyki reprezentacji nieprzywiedlnych tych iloczynów prostych można otrzymać z reprezentacji poszczególnych czynników. Wszystkie grupy, które otrzymuje się przez tworzenie iloczynu prostego z grupą \mathcal{C}_i , posiadają podwójną ilość klas. Każda z reprezentacji grupy pierwotnej prowadzi do dwu reprezentacji iloczynu prostego, jednej symetrycznej i jednej antysymetrycznej względem inwersji I . Te same uwagi odnoszą się do iloczynów prostych zawierających \mathcal{C}_s . Jako przykład podajemy tablicę charakterów grupy \mathcal{C}_{3h} (tabl. 4.8).

Tablica 4.8

\mathcal{C}_{3h} :	E	C_3	C_3^2	σ_h	$\sigma_h C_3$	$\sigma_h C_3^2$
A'	1	1	1	1	1	1
A''	1	1	1	-1	-1	-1
E'	1	ε	ε^2	1	ε	ε^2
	1	ε^2	ε	1	ε^2	ε
E''	1	ε	ε^2	-1	$-\varepsilon$	$-\varepsilon^2$
	1	ε^2	ε	-1	$-\varepsilon^2$	$-\varepsilon$

Zadanie. Zbudować tablicę charakterów dla grupy \mathcal{S}_6 .

4.3. Tablice charakterów dla krystalicznych grup punktowych

Tablica 4.10

Tablica 4.9		$\mathcal{C}_i:$			$\mathcal{C}_2:$		$\mathcal{C}_s:$	
$\mathcal{C}_1:$	E	A_g	$A; z$	$A'; x, y$	E	I	E	C_2
A	1	$A_u; x, y, z$	$B; x, y$	$A''; z$	E	σ	1	1
					1	-1	1	-1

Tablica 4.11

$\mathcal{C}_{2h}:$			$\mathcal{C}_{2v}:$			
$V \equiv D_2$			E	C_2	σ_h	I
$\mathcal{C}_{2h}:$	$\mathcal{C}_{2v}:$	$V \equiv D_2$	E	C_2	σ_v	σ_v'
A_g	$A_1; z$	A_1	1	1	1	1
B_g	$B_2; y$	$B_3; x$	1	-1	-1	1
$A_u; z$	A_2	$B_1; z$	1	1	-1	-1
$B_u; x, y$	$B_1; x$	$B_2; y$	1	-1	1	-1

Tablica 4.12

$\mathcal{C}_4:$		$\mathcal{S}_4:$			
$\mathcal{C}_4:$	$\mathcal{S}_4:$	E	C_4	C_4^2	C_4^3
$A; z$	A	1	1	1	1
B	$B; z$	1	-1	1	-1
$E; x \pm iy$	$E; x \pm iy$	1	i	-1	$-i$
		1	$-i$	-1	i

Tablica 4.13

$\mathcal{C}_3:$	E	C_3	C_3^2
$A; z$	1	1	1
$E; x \pm iy$	1	ε	ε^2
	1	ε^2	ε

$\varepsilon = e^{-2\pi i/3}$

Tablica 4.14

$\mathcal{C}_{3v}:$		$D_3:$		
$\mathcal{C}_{3v}:$	$D_3:$	E	$C_3(2)$	$\sigma_v(3)$
$A_1; z$	A_1	E	$C_3(2)$	$C_2(3)$
A_2	$A_2; z$	1	1	1
$E; x, y$	$E; x, y$	1	1	-1
		2	-1	0

Tablica 4.15

\mathcal{C}_6	E	C_6	C_6^2	C_6^3	C_6^4	C_6^5
$A; z$	1	1	1	1	1	1
B	1	-1	1	-1	1	-1
E_1	1	ω^2	$-\omega$	1	ω^2	$-\omega$
	1	$-\omega$	ω^2	1	$-\omega$	ω^2
$E_2; x \pm iy$	1	ω	ω^2	-1	$-\omega$	$-\omega^2$
	1	$-\omega^2$	$-\omega$	-1	ω^2	ω

$\omega = e^{2\pi i/6}$

Tablica 4.16

\mathcal{C}_{4v} :			E	C_4^2	$C_4(2)$	$\sigma_v(2)$	$\sigma_v'(2)$
D_4 :			E	C_4^2	$C_4(2)$	$C_2(2)$	$C_2'(2)$
D_{2d} :			E	C_2	$S_4(2)$	$C_2(2)$	$\sigma_d(2)$
$A_1; z$	A_1	A_1	1	1	1	1	1
A_2	$A_2; z$	A_2	1	1	1	-1	-1
B_1	B_1	B_1	1	1	-1	1	-1
B_2	B_2	$B_2; z$	1	1	-1	-1	1
$E; x, y$	$E; x, y$	$E; x, y$	2	-2	0	0	0

Tablica 4.17

D_6 :			E	C_6^3	$C_6^2(2)$	$C_6(2)$	$C_2(3)$	$C_2'(3)$
C_{6v} :			E	C_6^3	$C_6^2(2)$	$C_6(2)$	$\sigma_v(3)$	$\sigma_v'(3)$
D_{3h} :			E	σ_h	$C_3(2)$	$S_3(2)$	$C_2(3)$	$\sigma_v(3)$
A_1	$A_1; z$	A_1'	1	1	1	1	1	1
$A_2; z$	A_2	A_2'	1	1	1	1	-1	-1
B_1	B_2	A_1''	1	-1	1	-1	1	-1
B_2	B_1	$A_2''; z$	1	-1	1	-1	-1	1
E_2	E_1	$E'; x, y$	2	2	-1	-1	0	0
$E_1; x, y$	$E_2; x, y$	E''	2	-2	-1	1	0	0

Tablica 4.18

T :	E	$C_2(3)$	$C_3(4)$	$C_3^2(4)$
A	1	1	1	1
E	1	1	ε	ε^2
	1	1	ε^2	ε
$F; x, y, z$	3	-1	0	0

Tablica 4.19

O :		E	$C_3(8)$	$C_4^2(3)$	$C_2(6)$	$C_4(6)$
T_d :		E	$C_3(8)$	$S_4^2(3)$	$\sigma_d(6)$	$S_4(6)$
A_1	A_1	1	1	1	1	1
A_2	A_2	1	1	1	-1	-1
E	E	2	-1	2	0	0
F_2	$F_2; x, y, z$	3	0	-1	1	-1
$F_1; x, y, z$	F_1	3	0	-1	-1	1